

磁共振在多形性黄色星形细胞瘤 诊断中的价值

The Value of MRI in the Diagnosis for Pleomorphic Xanthoastrocytoma
ZHANG Rui, PENG Xiao-gang, CUI Li-hua, et al.

张蕊, 彭晓刚, 崔丽华, 倪海洋, 卢敬红
(齐齐哈尔市第一医院, 黑龙江 齐齐哈尔 161000)

摘要: [目的] 探讨磁共振(MRI)在多形性黄色星形细胞瘤(PXA)诊断中的价值。[方法] 回顾性分析经手术病理证实的13例PXA患者的MR表现及其病理学特征。[结果] 本组13例均位于幕上, 其中5例位于颞叶、4例位于顶叶、3例位于额叶、1例位于枕叶, 位置均较表浅, 病变最大者大小约9cm×10cm, 其中囊性病变并实性壁结节10例, 实性病变3例, 8例病灶周围有轻微水肿, 5例病灶周围无明显水肿。10例囊实性病灶囊性部分T1WI比脑脊液信号稍高, T2WI比脑脊液信号稍低, 当囊性部分蛋白含量增高时T1WI可呈高信号, 实性部分与脑皮质相比呈等T1等T2信号, 增强后, 实性部分及囊壁强化呈显著高信号, 囊性部分无明显强化呈低信号, 2例病变周围可见软脑膜线样强化。¹H-MRS检查示NAA峰下降, Cho峰升高。免疫组化示CD34(血管+), GFAP(+)等。[结论] 多形性黄色星形细胞瘤具有特征性的MR表现, 认识这些特点有助于提高PXA诊断的准确性。**关键词:** 脑肿瘤; 多形性黄色星形细胞瘤; 磁共振
中图分类号: R739.41 **文献标识码:** B
文章编号: 1671-170X(2015)02-0157-03
doi: 10.11735/j.issn.1671-170X.2015.02.B016

多形性黄色星形细胞瘤 (pleomorphic xanthoastrocytoma, PXA) 是中枢神经系统少见的肿瘤, 占星形细胞瘤不足1%^[1,2], 属低级别星形细胞瘤(WHO II级), 最初是由Kepes等^[2]报道并命名的, 多见于儿童和青少年, 好发于脑浅表部位, 且常累及软脑膜, 具有特定的影像表现。本文通过回顾性分析我院经病理证实的PXA影像学特点, 并结合氢质子波谱成像, 旨在加深对PXA的认识, 提高其诊断的准确性。

1 资料与方法

1.1 临床资料

回顾性分析2007~2013年间经齐齐哈尔市第一医院病理证实的PXA患者共13例, 其中男性8例, 女性5例, 年龄14~56岁, 平均年龄(28.5±10.6)岁, 病程3个月至12年不等, 临床表现主要为癫痫和头痛, 其中2例伴有颅内压升高, 1例伴单侧肢体肌力下降。所有病例手术后均经病理证实。13例PXA患者均行MRI平扫及增强检查, 其中3例行MRS检查。

1.2 方法

MRI采用荷兰Philips Achieva 1.5T磁共振成像扫描仪, 头颅正交线圈, 均行横轴位T1WI、T2WI, 后静脉团注Gd-DTPA

(用量0.1ml/kg, 流速3ml/s)行横轴位、矢状位和冠状位T1WI增强扫描, 其中3例同时行¹H-MRS检查。具体扫描参数如下: T1加权像TR 250ms, TE 2.5ms; T2加权成像TR 6 000ms, TE 93ms。¹H-MRS采用点分辨波谱(point resolved spectroscopy, PRESS)法。扫描层面均为7mm, 层间距0.7mm; 矩阵128×128, FOV 220mm×220mm。

所有病例均经手术切除后行病理检查, 病理标本经甲醛固定、石蜡包埋, HE染色, 光镜检查。免疫组织化学染色采用SP法, 抗体为胶质纤维酸性蛋白(GFAP)、S100、vimentin、CD34、Syn、Ki-67。

2 结果

2.1 MRI表现

本组13例均位于幕上, 其中5例位于颞叶、4例位于顶叶、3例位于额叶、1例位于枕叶, 位置均较表浅, 病变最大者大小约9cm×10cm, 其中囊性病变并实性壁结节10例, 实性病变3例, 8例病灶周围有轻微水肿, 5例病灶周围无明显水肿。10例囊实性病灶囊性部分T1WI比脑脊液信号稍高, T2WI比脑脊液信号稍低, 当囊性部分蛋白含量增高时T1WI可呈高信号, 实性部分与脑皮质相比呈等T1等T2信号, 增强后, 实性部分及囊壁强化呈显著高信号, 囊性部分无明显强化呈低信号, 2例病变周围可见软脑膜线样强化。¹H-MRS检查示NAA峰下降, Cho峰升高, Cho/NAA值为0.98、1.32 (Figure 1)。

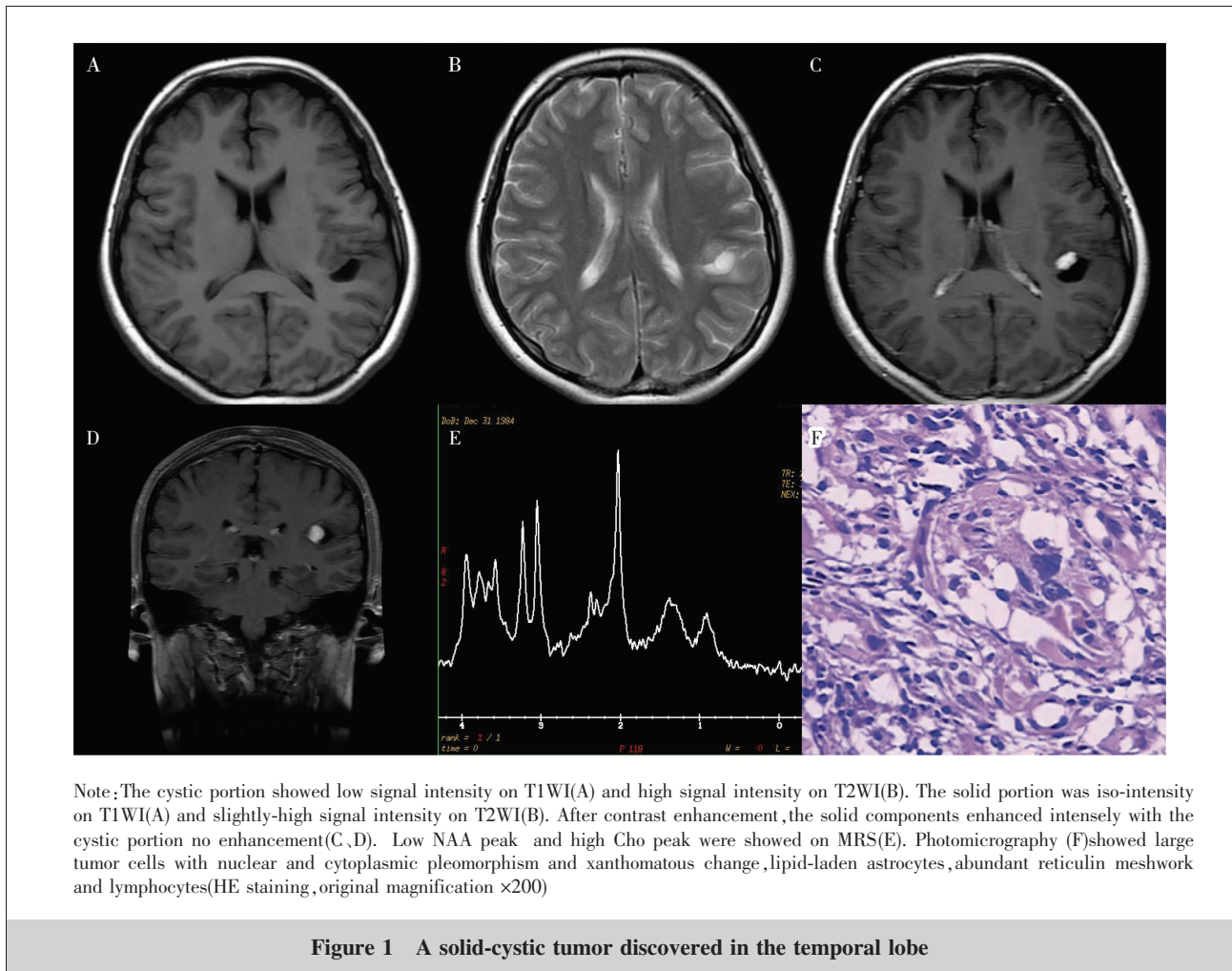
2.2 手术及病理所见

术中可见肿瘤边界清晰, 肉眼所见7例为灰白色, 3例为灰褐色, 3例为白灰褐色, 镜下以多形性瘤细胞为主, 4例可见多核、巨核细胞, 1例可见核分裂相。免疫组化结果示: CD34(血管+), GFAP(+), NeuN(-), S-100(+), Vimentin(+), oligo-2(散在+), EMA(-), Ki-67(index<1%), 符合多形性黄色星形细胞瘤, WHO II级。

3 讨论

PXA为中枢神经系统少见肿瘤, 起源于星形细胞, 最早由Kepes于1973年以“脑膜和脑的纤维黄色瘤和纤维黄色肉瘤”首次报道, 1979年命名为多形性黄色星形细胞瘤^[2], 但直

通讯作者: 张蕊, 副主任医师, 硕士; 齐齐哈尔市第一医院磁共振室, 黑龙江省齐齐哈尔市龙沙区公园路30号(161000); E-mail: ruizh78@163.com
收稿日期: 2014-08-22; **修回日期:** 2014-09-04



至 1993 年才纳入 WHO 的脑肿瘤分类,将其定为 II 级。2000 年分类认为对核分裂活跃和(或)有坏死区的病灶,应称为“多形性黄色星形细胞瘤伴间变表现”,此时病灶可恶化呈弥漫性生长,故有文献报道将其视为一种桥梁性肿瘤^[3,4]。肿瘤多位于大脑半球的表浅部位,幕上以颞叶最常见,其次为顶叶、枕叶,幕下、脑室内等处亦有少数报道。本组 13 例均位于幕上,其中 5 例位于颞叶、4 例位于顶叶、3 例位于额叶、1 例位于枕叶。PXA 生长缓慢,临床病史较长,绝大多数患者以长期癫痫为首发症状,部分可伴有头痛、呕吐等颅内高压症状。

3.1 PXA 的病理特征

PXA 巨检示肿瘤边界清晰,可见实性结节并囊变,邻近可见软脑膜浸润,但多数肿瘤与周围正常脑组织分界清晰。本组病例中多数为囊性病伴附壁结节。PXA 病理上主要由梭形细胞、多核巨细胞和泡沫状含脂质的黄色星形细胞组成,核分裂相罕见,但有文献提出当核分裂多,出现坏死及内皮细胞增殖时,提示 PXA 发生间变^[5]。本组中有 1 例 PXA 发生间变,核分裂相 >4 个/10HPF。免疫组化结果示 GFAP 为阳性,提示肿瘤为星形细胞起源。

3.2 PXA 的影像学表现

几乎所有病灶均发生于大脑半球,颞叶最常见,其次为顶叶、枕叶及额叶,少数可发生于小脑和脊髓^[6,7]。肿瘤较小时可为实质性或囊性,长大后可为脑膜下带有附壁结节或实质部分的囊性病,囊性病 T1WI 呈低信号,T2WI 呈高信号,实性部分 T1WI 为低或等信号,T2WI 为高信号。增强后附壁结节及实质部分常明显强化,邻近软脑膜可见线样强化影。本组病例中 10 例为囊性病伴壁结节,3 例为实性病。

3.3 脑功能成像在 PXA 诊断中的价值

磁共振波谱成像(MRS)是唯一可以获得活体内有关生物化学物质核磁共振波谱信息的方法。当肿瘤细胞增殖时,反应细胞膜磷脂代谢的 Cho 峰升高,相应神经元被破坏,NAA 峰显著下降,故 Cho/NAA 下降可提示不同级别胶质瘤的诊断。曾有文献报道^[8],Cho/NAA 值 >4 提示为间变性星形细胞瘤或胶质母细胞瘤。Cho/NAA 值在 2~4 之间提示分化良好的弥漫性星形细胞瘤。本组 2 例行 MRS 检查,实性强化结节 Cho 峰升高,NAA 峰降低,Cho/NAA 值为 0.98、1.32,提示肿瘤为良性病变。

3.4 PXA 的鉴别诊断

PXA 可为囊性、实性或囊实混合性,影像上需与节细胞瘤、节细胞胶质瘤、毛细胞型星形细胞瘤、血管母细胞瘤、胚胎发育不良性神经上皮肿瘤(DNT)及室管膜瘤等鉴别。节细胞瘤及节细胞胶质瘤亦常发生于脑浅表部位,边界清晰,强化程度不一,但多伴有壁结节钙化,且邻近软脑膜无明显线样强化。毛细胞型星形细胞瘤好发于儿童和青少年,主要见于小脑半球,边界清晰,不伴或仅伴轻微瘤周水肿,可呈囊实性(小脑)或实性(下丘脑和视觉通路者),15%~21%的 I 型神经纤维瘤病患者常伴发视经和视交叉的 PA^[9,10]。室管膜瘤钙化较常见,且与室壁关系密切。血管母细胞瘤病变内部或周边可见流空血管影。DNT 为皮层囊实性肿块,但同时伴有邻近脑皮层结构不良,有助于鉴别诊断。

综上所述,PXA 好发于脑浅表部位,多见于儿童和青少年,常以癫痫为首发症状,颞叶多发,影像学表现为囊实性肿物,增强后结节显著强化呈高信号,囊壁轻微强化或不强化,软脑膜的线样强化有助于 PXA 的鉴别诊断。充分认识这些影像学特征可提高对该病诊断的准确性。尽管 PXA 为良性肿瘤,但仍有转移、复发、出血及恶变的可能,临床需高度重视。

参考文献:

- [1] Xie TM,Shao GL,Yu YP,et al. Diffusion-tensor imaging of immediate peritumoral region in brain astrocytoma[J]. *Journal of Chinese Oncology*,2011,17(11):834-838.[谢铁明,邵国良,俞炎平,等. 脑星形细胞瘤近瘤周白质区的 DTI 征象及参数分析[J]. *肿瘤学杂志*,2011,17(11):834-838.]
- [2] Kepes JJ,Rubinstein LJ,Eng LF. Pleomorphic xanthoastrocytoma:a distinctive meningocerebral glioma of young subjects with relatively favorable prognosis.A study of 12 cases[J]. *Cancer*,1979,44(5):1839-1852.
- [3] Chen XD,Liu HQ,Lu J,et al. Imaging findings of pleomorphic xanthoastrocytomas[J]. *Journal of Chinese Clinical Medical Imaging*,2012,23(8):533-537. [陈小东,刘含秋,陆健,等. 多形性黄色星形细胞瘤的影像表现[J]. *中国临床医学影像杂志*,2012,23(8):533-537.]
- [4] Yang WQ,Huang B,Liang CH. Case report:pleomorphic xanthoastrocytoma in the lateral ventricle with extensive subarachnoid dissemination;report of a case and review of the literature[J]. *Clin Med J*,2012,125(2):396-399.
- [5] Wang M,Zhang QM,Pan MH,et al. MR appearance and pathologic analysis of pleomorphic xanthoastrocytoma[J]. *Acta Universitatis Medicinalis Nanjing(Natural Science)*,2013,33(3):398-400.[王敏,张秋妹,潘敏鸿,等. 多形性黄色星形细胞瘤 MR 表现与病理分析[J]. *南京医科大学学报(自然科学版)*,2013,33(3):398-400.]
- [6] Zhou Q. WHO classification of tumors of the central nervous system(2007):an introduction[J]. *Zhonghua Bing Li Xue Za Zhi*,2008,37(1):5-7.
- [7] Fu YJ,Miyahara H,Uzuka T,et al. Intraventricular pleomorphic xanthoastrocytoma with anaplastic features [J]. *Neuropathology*,2010,30(4):443-448.
- [8] Mu N,Liu Y,Jin S. Imaging findings and pathological analysis of pleomorphic xanthoastrocytoma[J]. *International Journal of Medical Radiology*,2012,35(5):409-412. [穆宁,刘筠,靳松. 多形性黄色星形细胞瘤影像学表现与病理学分析[J]. *国际医学放射学杂志*,2012,35(5):409-412.]
- [9] Lim S,Kim JH,Kim SA,et al. Prognostic factors and therapeutic outcomes in 22 patients with pleomorphic xanthoastrocytoma[J]. *J Korean Neurosurg Soc*,2013,53(5):281-287.
- [10] Goncalves VT,Reis F,Queiroz LS,et al. Pleomorphic xanthoastrocytoma;magnetic resonance imaging findings in a series of cases with histopathological confirmation[J]. *Arq Neuropsiquiatr*,2013,71(1):35-39.